

## قيم $\delta$ للانتقالات الكامية المنبعثة من المستويات المثيجة في التفاعل باستعمال طريقة نسبة $a_2$ $^{70}_{32}\text{Ge} (p, n\gamma) ^{70}_{33}\text{As}$

تغريد عبد الجبار يونس

قسم الفيزياء / كلية التربية للعلوم الصرفة (ابن الهيثم)/جامعة بغداد

استلم البحث في 20 ايار 2012 ، قبل البحث في 21 كانون الثاني 2013

### الخلاصة

لقد تم في البحث الحالي حساب نسب الخلط للانتقالات الكامية من مستويات الطاقة للزرنيخ  $^{70}\text{As}$  المتولدة من التفاعل  $^{70}_{32}\text{Ge} (p, n\gamma) ^{70}_{33}\text{As}$  بطريقة نسبة  $a_2$ . إذ طبقت هذه الطريقة في حالتين الاولى عندما يكون الانتقالين غير تقيين (مختلط)، إذ تم الاعتماد على النتائج التجريبية لمعاملات التوزيع الزاوي  $a_2$  وقيمة  $\delta$  المنشورة سابقاً. ويتضح من النتائج ان قيم ( $\delta$ ) التي تم الحصول عليها متفقة بصورة جيدة او ضمن حدود الخطأ التجريبي مع النتائج التجريبية للبحث المنشور سابقاً وسبب وجود بعض التناقضات يعود الى عدم الدقة في النتائج التجريبية للبحث المنشور سابقاً.

الكلمات المفتاحية: انتقالات اشعة كاما، نسب الخلط، طريقة نسبة  $a_2$

## المقدمة

قام Podolyok وآخرون معه [1] بدراسة المستويات المثيجة في النواة  $^{70}\text{As}$  والناجئة من التفاعل  $^{70}\text{Ge} (p, n\gamma) ^{70}\text{As}$ . إذ كانت طاقة البروتون الساقط تتراوح بين 7.59 و 8.7 مليون إلكترون فولت (MeV). وقيست الشدة النسبية لحوالي (113) انتقالا كاميا من حوالي (42) مستويا مثيجا. وقيست نسب الخلط  $\delta$  لها، واستعمل في تحليل النتائج البرنامج الدولي CINDY [9] أيضاً. وقد درست من قبل Ten Brink وآخرين معه [10,11] باستعمال التفاعل  $^{70}\text{Ge} (p, n\gamma) ^{70}\text{As}$  وعن طريق انحلال البوزترون للنواة Se وكذلك تمت دراستها باستعمال تفاعلات الايون الثقيل [12,13] وكان Bath قد جمع المعلومات المتوفرة عن مستويات الطاقة والانتقالات الكامية في As لحد العام 1993 في المرجع [14]. وقد طبقت هذه الطريقة في دراسات سابقة [4,5,6,7,8] أيضاً في حالة كون الانتقال الثاني نقي او يمكن عده نقياً فقط. استخدمنا في البحث الحالي معاملات التوزيع الزاوي  $a_2$  في المصدر [1] للدراسة نفسها في حساب قيم نسب الخلط  $\delta$  للانتقالات الكامية لـ  $^{70}\text{As}$  المتولدة من التفاعل  $^{70}\text{Ge} (p, n\gamma) ^{70}\text{As}$  بطريقة نسبة  $a_2$  من اجل تأكيد صحة هذه الطريقة لحساب نسب الاختلاط  $\delta$  للانتقالات الكامية من المستويات المثيجة من التفاعل  $^{70}\text{Ge} (p, n\gamma) ^{70}\text{As}$ .

## اختزال المعطيات وتحليلها

بالنسبة الى الانتقالات الكامية النقية او الانتقالات التي يمكن عدها نقية يمكن حساب التنسر الاحصائي  $\rho_2(J_i)$  من المعادلة الآتية: [2]

$$a_2(J_i - J_f) = \rho_2(J_i) F_2(J_i J_f \delta) \dots \dots \dots (1)$$

إذ إن  $\rho_2(J_i)$  يمثل التنسر الاحصائي الثابت للمستوى الابتدائي  $J_i$ .  $F_2(J_i J_f \delta)$  هي معاملات تتضمن معلومات عن تغيرات الزخم الزاوي ونسب الخلط وهي تعطى بالعلاقة الآتية:-

$$F_2(J_i J_f \delta) = \frac{[F_2(J_f L_1 L_1 J_i) + 2\delta F_2(J_f L_1 L_2 J_i) + \delta^2 F_2(J_f L_2 L_2 J_i)]}{(1 + \delta^2)} \dots \dots \dots (2)[3]$$

إذ إن :

$$L_1 = |J_i - J_f| \neq 0$$

$$L_2 = L_1 + 1$$

إذ L يمثل الزخم الزاوي لأشعة كاما وهو لا يساوي صفر

$$L = 1 + S \neq 0$$

لأن :-

S = البرم البرمي ويساوي واحد .

L = الزخم الزاوي لأشعة كاما

1 = يمثل الزخم المداري (ويأخذ 0, 1, 2, 3, .....)

وفي حالة كون الانتقال الكامي نقياً، فإن  $(\delta = 0)$  وبذلك تصبح المعادلة (2) كما يأتي:-

$$F_2(J_i J_f \delta) = F_2(J_f L_1 L_1 J_i) \dots \dots \dots (3)$$

وبتعويض (3) في (1) ينتج :

$$a_2(J_i - J_f) = \rho_2(J_i) F_2(J_f L_1 L_1 J_i) \dots \dots \dots (4)$$

اما في حالة وجود انتقالين كامين فنستعمل المعادلة الآتية:- [2]

$$\frac{a_2(J_i - J_{f_1})}{a_2(J_i - J_{f_2})} = \frac{[F_2(J_{f_1} L_1 L_1 J_i) + 2\delta_1 F_2(J_{f_1} L_1 L_2 J_i) + \delta_1^2 F_2(J_{f_1} L_2 L_2 J_i)] / (1 + \delta_1^2)}{[F_2(J_{f_2} L_1 L_1 J_i) + 2\delta_2 F_2(J_{f_2} L_1 L_2 J_i) + \delta_2^2 F_2(J_{f_2} L_2 L_2 J_i)] / (1 + \delta_2^2)} \dots \dots \dots (5)$$

إذ إن  $\rho_2(J_i)$  متساوية للمستوى نفسه.

وإذا كان الانتقال الثاني نقي فنعووض قيمة  $(\delta_2 = 0)$  فينتج:

$$\frac{a_2(J_i - J_{f_1})}{a_2(J_i - J_{f_2})} = \frac{F_2(J_{f_1} L_1 L_1 J_i) + 2\delta_1 F_2(J_{f_1} L_1 L_2 J_i) + \delta_1^2 F_2(J_{f_1} L_2 L_2 J_i)}{F_2(J_{f_2} L_1 L_1 J_i) (1 + \delta_1^2)} \dots \dots \dots (6)$$

إذ إن قيم  $F_2$  المذكورة في الملحق (1) [7]، وقيم  $a_2$  معلومة في الجداول (1) و (2). وعند تطبيق هذه المعادلة في حالة كون أحد هذين الانتقالين نقياً ينتج:

$$\frac{a_2(1-1)}{a_2(1-2)^*} = \frac{-0.35355 - 2.12134\delta - 0.35155\delta^2}{0.07071(1+\delta^2)} \dots\dots\dots(7)$$

$$\frac{a_2(2-2)}{a_2(2-1)^*} = \frac{-0.41833 - 1.22476\delta + 0.12806\delta^2}{0.41833(1+\delta^2)} \dots\dots\dots(8)$$

$$\frac{a_2(1-2)}{a_2(1-2)^*} = \frac{0.07071 + 0.94868\delta + 0.35355\delta^2}{0.07071(1+\delta^2)} \dots\dots\dots(9)$$

$$\frac{a_2(2-1)}{a_2(2-1)^*} = \frac{-0.41833 - 1.22476\delta + 0.12806\delta^2}{-0.59761(1+\delta^2)} \dots\dots\dots(10)$$

أما بالنسبة إلى المستويات التي لها انتقالان كاميان غير نقيين فنستخدم المعادلة [5] على اعتبار أن قيمة  $\delta_2$  (مقاسة تجريبياً) معلومة وكما يأتي :-

$$\frac{a_2(1-2)}{a_2(1-1)} = \frac{(0.07071 + 0.94868\delta_1 + 0.35355\delta_1^2)/(1+\delta_1^2)}{(-0.35355 - 2.12134\delta_2 - 0.35355\delta_2^2)/(1+\delta_2^2)} \dots\dots\dots(11)$$

$$\frac{a_2(1-1)}{a_2(1-2)} = \frac{(-0.35355 - 2.12134\delta_1 - 0.35355\delta_1^2)/(1+\delta_1^2)}{(0.07071 + 0.94868\delta_2 + 0.35355\delta_2^2)/(1+\delta_2^2)} \dots\dots\dots(12)$$

$$\frac{a_2(1-2)_1}{a_2(1-2)_2} = \frac{(0.07071 + 0.94868\delta_1 + 0.35355\delta_1^2)/(1+\delta_1^2)}{(0.07071 + 0.94868\delta_2 + 0.35355\delta_2^2)/(1+\delta_2^2)} \dots\dots\dots(13)$$

$$\frac{a_2(2-1)_1}{a_2(2-1)_2} = \frac{(0.41833 - 1.87084\delta_1 - 0.29881\delta_1^2)/(1+\delta_1^2)}{(0.41833 - 1.87084\delta_2 - 0.29881\delta_2^2)/(1+\delta_2^2)} \dots\dots\dots(14)$$

$$\frac{a_2(2-1)}{a_2(2-2)} = \frac{(0.41833 - 1.87084\delta_1 - 0.29881\delta_1^2)/(1+\delta_1^2)}{(-0.41833 - 1.22476\delta_2 + 0.12806\delta_2^2)/(1+\delta_2^2)} \dots\dots\dots(15)$$

$$\frac{a_2(2-2)}{a_2(2-1)} = \frac{(-0.41833 - 1.22476\delta_1 + 0.12806\delta_1^2)/(1+\delta_1^2)}{(0.41833 - 1.87084\delta_2 - 0.29881\delta_2^2)/(1+\delta_2^2)} \dots\dots\dots(16)$$

## النتائج والمناقشة

### طريقة نسبة $a_2$ وانتقالات نقية

يبين الجدول (1) مستويات الطاقة للزرنينج  $^{70}\text{As}$  التي لها انتقالان على الأقل احدهما نقي او يمكن عدّه نقياً لصغر قيمة  $\delta$  له، واستعمل في حساب قيم  $\delta$  للانتقال الآخر.

من المعروف ان الانتقالات  $(1^+-2^+)$  و  $(2^+-1^+)$  لا تكون نقية عادة، غير ان  $\delta = -0.01$  المنشورة في المرجع [1] للانتقال  $(1^+-2^+)$  202.66 كيلو إلكترون فولت من المستوى 234.73 كيلو إلكترون فولت صغيرة جداً. وهذا يعني ان الانتقال يكون 99.99% M1 و 0.01% E2.

وكذلك بالنسبة إلى (3)  $\delta = 0.03$  المنشورة في المرجع نفسه للانتقال  $(2^+-1^+)$  244.10 كيلو إلكترون فولت من المستوى 325.65 كيلو إلكترون فولت و  $\delta = 0.05$  (28) للانتقال  $(1^+-2^+)$  160.89 كيلو إلكترون فولت من المستوى

328.64 كيلو إلكترون فولت. إذ يكون الانتقال الأول  $M1$  99.91% و  $E2$  0.09%، والانتقال الثاني  $M1$  99.75% و  $E2$  0.25%.

وعليه عدت هذه الانتقالات نقية ( $M1$ ) على فرض أن قيم  $\delta$  المنشورة لها في المرجع [1] صحيحة كما يجب أن تكون واستعملت في حساب قيم  $\delta$  للانتقالات الأخر من المستويات نفسها كما هي مبينة في الجدول (1) حيث نلاحظ أنها لا تتفق مع القيم المنشورة في المرجع [1] للانتقالات نفسها. وهذا يدل على أن قيم  $a_2$  وقيم  $\delta$  المنشورة لهذه الانتقالات أو الانتقالات التي عدت نقية غير صحيحة. وإنما كذلك فعلاً بالنسبة إلى الانتقالات من مستويات برومها ( $J_i=1$ ) إذ يجب أن تكون  $a_4$  لمثل هذه الانتقالات صفراً.

أما بالنسبة إلى الانتقالين ( $2^- - 1^+$ ) 301.8 و 148.57 كيلو إلكترون فولت من المستوى 383.32 كيلو إلكترون فولت فالمفروض أن يكون كل منهما انتقالاً نقياً ( $E1$ ). وعندما عُدَّ الانتقال الكامي الأول نقياً ( $E1$ ) وجدنا أن قيمة  $\delta$  للانتقال الثاني متفقة مع قيمة  $\delta$  المذكورة في المرجع [1].

ولكن عندما عُدَّ الانتقال الثاني نقياً ( $E1$ ) حصلنا على جذور خيالية لقيمة  $\delta$  للانتقال الأول. وهذا يعني أن الانتقال الثاني لا يمكن أن يكون نقياً وإنما يكون انتقالاً مختلطاً ( $E1+M2$ ) بنسبة  $E1$  98% و  $M2$  2% على اعتبار أن  $\delta = \frac{M2}{E1}$ .

وهذه النسبة معقولة إلى حد ما، غير أن مقدار الخطأ في قيمة  $a_2$  للانتقال الثاني كبير جداً مقارنة بقيمة  $a_2$  نفسها وهذا يدل على أن قيمة  $a_2$  لهذا الانتقال ليست دقيقة وعليه لا يمكن أن يكون مقدار الخطأ في قيمة  $\delta$  للانتقال نفسه صغيراً ( $\pm 0.07$ ) كما هو مذكور في المرجع [1].

### طريقة نسبة $a_2$ وانتقالات مختلطة

نلاحظ من الجدول (2) عندما أخذنا قيمة  $a_2$  وقيمة  $\delta$  للانتقال الكامي ( $1^+ - 2^+$ ) 202.66 كيلو إلكترون فولت من المستوى 234.73 كيلو إلكترون فولت بنظر الاعتبار في حساب قيمة  $\delta$  للانتقال 153.18 كيلو إلكترون فولت من المستوى نفسه وجدنا أن النتائج لا تتفق مع قيمة  $\delta$  المنشورة في المرجع [1] للانتقال نفسه. وعندما أخذنا  $a_2$  و  $\delta$  للانتقال الثاني بنظر الاعتبار لحساب قيمة  $\delta$  للانتقال الأول حصلنا على جذور خيالية. وهذا يدل على أن النتائج المنشورة في المرجع [1] لأحد هذين الانتقالين على الأقل غير صحيحة إن لم يكن للانتقالين كليهما. إن قيمتي  $a_4$  للانتقالين ( $1^+ - 2^+$ ) و ( $1^+ - 1^+$ ) ليستا صحيحتين إذ يجب أن تكون كل واحدة منهما صفراً وهذه بالتأكيد تؤثر في قيمتي  $a_2$  للانتقالين. وبالأسلوب نفسه نلاحظ أن قيم  $a_2$  وقيم  $\delta$  المنشورة في المرجع [1] للانتقالات الكامية من المستوى 328.64 كيلو إلكترون فولت ليست صحيحة.

أما بالنسبة إلى المستويين 325.65 و 383.32 كيلو إلكترون فولت نلاحظ أن قيم  $\delta$  المحسوبة للانتقالين من المستويين متفقة ضمن الخطأ التجريبي مع قيم  $\delta$  المنشورة في المرجع [1]. وهذا يدل على صحة النتائج التجريبية.

### الاستنتاجات

1. النتائج التجريبية المنشورة في المرجع [1] للانتقالات الكامية من المستويات التي برومها  $J_i=1$  غير صحيحة عدا الانتقال 160.89 كيلو إلكترون فولت من المستوى 328.64 كيلو إلكترون فولت فإنه صحيح إلى حد ما. أما النتائج التجريبية للانتقالات الأخرى فأنها صحيحة ضمن الخطأ التجريبي.
2. تم التثبت من إمكانية طريقة نسبة  $a_2$  ليس على حساب قيم  $\delta$  حسب وإنما على التنبؤ بوجود أي خطأ من النتائج التجريبية.

### المصادر

1. Podolyak, ZS.; Fenyés, T. and Timar, J.( 1995), Structure of the  $^{70}\text{As}$  nucleus. Nuclear physics ,A 584,60.
2. Poletti A.R. and Warburton E.K. (1965), Study of the low -lying levels of  $\text{F}^{18}$  by means of the  $\text{O}^{16}(\text{He}^3, \text{p}\gamma) \text{F}^{18}$  Reaction; Phys. Rev. B595. Volume 137 ,Issue 3B.
3. Yamazaki, T. (1967), Nucl. Data, Tables A3, 1.
4. Youhana, H.M.( 2002), E2/M1 Mixing Ratios of  $2^+ - 2^+$  Gamma transitions in  $^{90,92,94}_{40}\text{Zr}$  Isotoper Using Anew Methd, Ibn Al-Haitham Journal for Pure and Applied Sciences 15 (4), 33.
5. Youhana ,H.M. (2002), multiple mixing Ratios of Gama transitions from levels with spin 4 and 3 In  $^{90,92,94}\text{Zr}$  Isotopes using the constant statistied Tensor method, Ibn Al-Haitham Journal for Pure and Applied Sciences 15 (46): 14.

6. Mohammed-Saied, B.( 2001), Analysis of Angular Distribution of Gamma Rays and Gamma-Gamma & particle-Gamma, Ph.D. Thesis, University of Baghdad.
7. Al-Zuhairy, M.H.M. (2002),multiple mixing ratios of Gamma Ray from the Hevy Ion Reactions by using constant statistical Tensor methad, Ph.D. Thesis University of Baghdad.
8. Tammy, R.J. (2004), multiple mixing Ratios of rays from different Nuclear Ructions, Ph.D. Thesis University of Al-Mustansiriyah.
9. Sheldon, E. and Regers, V.C.(1973),Computation of total and differential cross section for compound nuclear reactions of the type (a,a),(a, a`),(a,b),(a,γ),(a,γ-γ),(a,bγ) and (a,bγ-γ) . Volume 6 ,Issue 3 ,pages99.
10. Ten Brink, B.O.;Vis ,R.D.,Kalshoven, A.w.B.and Verheul, H.(1974),The decay of  $^{70}\text{Se}_{37}$ , Phys. Volume 270,Issue 2,pages 83.
11. Ten Brink B.O.,Akkemans J.,Van Nes P., And Verheul H.(1979), On the structure of  $^{70,72}\text{As}$  . Volume 330,Issue 2,A330,409.
12. Filevich, A.;Behar,M.;Garcia Bermudez, G.;Mariscott, M.A.J.;Der Mateosian, E.and Thieberger, P.(1978), Nucl.Phys.A,V. 309,Issue 1-2,pages 285-300.
13. Bedica , T.;Cojocar, V.,;Pantelica , D.;Pope scu, I. and Scintei, N. (1991),High-spin states in  $^{70}\text{As}$  .Nucl. Phys. sectionA Volume 535, Issue 2 ,pages 425.
14. Bhat, M.R. (1993),Nucl.Data sheets update for A=70 ,68(1),117 .

جدول رقم (1) : نسب الخلط لانتقالات كامية من مستويات متهيجة في التفاعل  $^{70}_{32}\text{Ge}(p, n\gamma)^{70}_{33}\text{As}$  بطريقة نسبة  $a_2$  وانتقالات نقية

$\delta$ (نسبة $a_2$ )	$\delta$ [1]	$a_2$ [1] $a_4$	$J_i^\pi - J_f^\pi$	$E_\gamma$ (keV)	$E_i$ (keV)
M1	-0.01 (27)	0.142 (58) 0.125 (46)	$1^+-2^+$	202.66	234.73
- 0.14 (3) $-(7.2^{+1.8}_{-1.3})$	$0.28^{+0.52}_{-0.25}$	-0.126 (106) -0.278 (115)	$1^+-1^+$	153.18	
$0.30^{+?}_{-0.33}$ $1.2^{+1.3}_{-?}$	0.15 (4)	0.304 (90) 0.024 (75)	$2^+-2^+$	293.63	325.65
M1	0.03 (3)	-0.179 (69) -0.003 (70)	$2^+-1^+$	244.10	
-0.04 (8) $-(2.9^{+0.9}_{-0.6})$	-0.19 (24)	-0.040 (87) -0.043 (67)	$1^+-2^+$	296.64	328.64
$-(0.26^{+0.12}_{-0.09})$ $-(3.7^{+2.0}_{-1.1})$	-0.16 (40)	-0.229 (165) -0.264 (174)	$1^+-1^+$	247.11	
M1	0.05 (28)	-0.091 (59) -0.086 (62)	$1^+-2^+$	160.89	
جذور خيالية	E1	-0.165 (53) 0.010 (54)	$2^--1^+$	301.8	383.32
E1	$0.15^{+0.35}_{-0.33}$	-0.051 (235) 0.027 (185)	$2^--1^+$	148.57	

$\delta$ (نسبة $a_2$ )		$\delta$ [1]	$a_2$ [1] $a_4$	$J_i^\pi - J_f^\pi$	$E_\gamma$ (keV)	$E_i$ (keV)
جذور خيالية	<u>-0.01</u>	-0.01 (27)	0.142 (58) 0.125 (46)	$1^+ - 2^+$	202.66	234.73
<u>0.28</u>	-0.14 (3) $-(6.9^{+1.5}_{-1.0})$	$0.28^{+0.52}_{-0.25}$	-0.126 (106) -0.278 (115)	$1^+ - 1^+$	153.18	
$0.18^{+?}_{-0.26}$ $1.5^{+1.3}_{-?}$	<u>0.15</u>	0.15 (4)	0.304 (90) 0.024 (75)	$2^+ - 2^+$	293.63	325.65
<u>0.03</u>	0.04 (9) $-(2.9^{+1.2}_{-0.7})$	0.03 (3)	-0.179 (69) -0.003 (70)	$2^+ - 1^+$	244.10	
-0.02 (13) $-(3.1^{+2.2}_{-1.0})$	$-(0.16^{+0.25}_{-0.18})$ $-(2.1^{+1.5}_{-0.9})$	<u>-0.19</u>	-0.19 (24)	$1^+ - 2^+$	296.69	328.64
$-(0.34^{+0.27}_{-0.16})$ $-(2.9^{+2.8}_{-1.3})$	<u>-0.16</u>	$0.09^{+?}_{-0.93}$ فقط	-0.16 (40)	$1^+ - 1^+$	247.11	
<u>0.05</u>	$-(0.28^{+?}_{-0.20})$ $-(1.6^{+1.0}_{-?})$	$-(0.39^{+?}_{-0.60})$ $-(1.3^{+10.2}_{-?})$	0.05 (28)	$1^+ - 2^+$	160.89	
-0.03 (?)	<u>0.03</u>	0.03 (3)	-0.165 (53) 0.010 (54)	$2^- - 1^+$	301.8	383.32
<u>0.14</u>	0.16 (29) فقط	0.14 (7)	-0.051 (235) 0.027 (85)	$2^- - 1^+$	148.57	



Appendix I [7]

J <sub>i</sub>	L <sub>1</sub>	L <sub>2</sub>	J <sub>f</sub>	F <sub>2</sub>	F <sub>4</sub>
1.0	1.0	1.0	0.0	0.70711	0.00000
1.0	1.0	1.0	1.0	-0.35355	0.00000
1.0	1.0	2.0	1.0	-1.06067	0.00000
1.0	2.0	2.0	1.0	-0.35355	0.00000
1.0	1.0	1.0	2.0	0.07071	0.00000
1.0	1.0	2.0	2.0	0.47434	0.00000
1.0	2.0	2.0	2.0	0.35355	0.00000
1.0	2.0	2.0	3.0	-0.10101	0.00000
1.0	2.0	3.0	3.0	0.37796	0.00000
1.0	3.0	3.0	3.0	0.53034	0.00000
1.0	3.0	3.0	4.0	-0.17678	0.00000
2.0	2.0	2.0	0.0	-0.59761	-1.06904
2.0	1.0	1.0	1.0	0.41833	0.00000
2.0	1.0	2.0	1.0	-0.93542	0.00000
2.0	2.0	2.0	1.0	-0.29881	0.71269
2.0	1.0	1.0	2.0	-0.41833	0.00000
2.0	1.0	2.0	2.0	-0.61238	0.00000
2.0	2.0	2.0	2.0	0.12806	-0.30544
2.0	1.0	1.0	3.0	0.11952	0.00000
2.0	1.0	2.0	3.0	0.65466	0.00000
2.0	2.0	2.0	3.0	0.34149	0.07636
2.0	2.0	2.0	4.0	-0.17075	-0.00848
2.0	2.0	3.0	4.0	0.50507	-0.06274
2.0	3.0	3.0	4.0	0.44822	-0.02970
2.0	3.0	3.0	5.0	-0.29881	0.00405
3.0	3.0	3.0	0.0	-0.86603	0.21320
3.0	2.0	2.0	1.0	-0.49487	-0.44670
3.0	2.0	3.0	1.0	-0.46290	1.04463
3.0	3.0	3.0	1.0	-0.64953	0.03553
3.0	1.0	1.0	2.0	0.34641	0.00000
3.0	1.0	2.0	2.0	-0.94869	0.00000
3.0	2.0	2.0	2.0	-0.12372	0.67006
3.0	1.0	1.0	3.0	-0.43301	0.00000
3.0	1.0	2.0	3.0	-0.43301	0.00000
3.0	2.0	2.0	3.0	0.22682	-0.44670
3.0	1.0	1.0	4.0	0.14434	0.00000

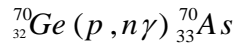
3.0	1.0	2.0	4.0	0.72169	0.00000
3.0	2.0	2.0	4.0	0.30929	0.14890
3.0	2.0	2.0	5.0	-0.20620	-0.02030
3.0	2.0	3.0	5.0	0.54554	-0.13430
3.0	3.0	3.0	5.0	0.36085	-0.05492
3.0	3.0	3.0	6.0	-0.36085	0.00969
4.0	3.0	3.0	1.0	-0.78349	0.14527
4.0	2.0	2.0	2.0	-0.44770	-0.30438
4.0	2.0	3.0	2.0	-0.52972	0.90036
4.0	3.0	3.0	2.0	-0.47009	-0.04842
4.0	1.0	1.0	3.0	0.31339	0.00000
4.0	1.0	2.0	3.0	-0.94018	0.00000
4.0	2.0	2.0	3.0	-0.04477	0.60876
4.0	1.0	1.0	4.0	-0.43875	0.00000
4.0	1.0	2.0	4.0	-0.33541	0.00000

4.0	2.0	2.0	4.0	0.26455	-0.49807
4.0	1.0	1.0	5.0	0.15955	0.00000
4.0	1.0	2.0	5.0	0.75679	0.00000
4.0	2.0	2.0	5.0	0.28490	0.19370
4.0	2.0	2.0	6.0	-0.22792	-0.02980
4.0	2.0	3.0	6.0	0.56407	-0.18437
4.0	3.0	3.0	6.0	0.29915	-0.06874
4.0	3.0	3.0	7.0	-0.39887	0.01422
5.0	3.0	3.0	2.0	-0.73599	0.11589
5.0	2.0	2.0	3.0	-0.42056	-0.24281
5.0	2.0	3.0	3.0	-0.55634	0.80301
5.0	3.0	3.0	3.0	-0.36799	-0.07726
5.0	1.0	1.0	4.0	0.29439	0.00000
5.0	1.0	2.0	4.0	-0.93095	0.00000
5.0	2.0	2.0	4.0	0.00000	0.56556
5.0	1.0	1.0	5.0	-0.44159	0.00000
5.0	1.0	2.0	5.0	-0.27386	0.00000
5.0	2.0	2.0	5.0	0.28307	-0.52297
5.0	1.0	1.0	6.0	0.16984	0.00000
5.0	1.0	2.0	6.0	0.77832	0.00000
5.0	2.0	2.0	6.0	0.26689	0.22413
5.0	2.0	2.0	7.0	-0.24263	-0.03736
5.0	2.0	3.0	7.0	0.57416	-0.22100
5.0	3.0	3.0	7.0	0.25476	-0.07726
5.0	3.0	3.0	8.0	-0.42461	0.01783

$J_i$	$L_1$	$L_2$	$J_f$	$F_2$	$F_4$
6.0	3.0	3.0	3.0	-0.70510	0.09967
6.0	2.0	2.0	4.0	-0.40291	-0.20883
6.0	2.0	3.0	4.0	-0.56980	0.73833
6.0	3.0	3.0	4.0	-0.30219	-0.09018
6.0	1.0	1.0	5.0	0.28204	0.00000
6.0	1.0	2.0	5.0	-0.92319	0.00000
6.0	2.0	2.0	5.0	0.02878	0.53699
6.0	1.0	1.0	6.0	-0.44320	0.00000
6.0	1.0	2.0	6.0	-0.23146	0.00000
6.0	2.0	2.0	6.0	0.29355	-0.53699
6.0	1.0	1.0	7.0	0.17728	0.00000
6.0	1.0	2.0	7.0	0.79283	0.00000
6.0	2.0	2.0	7.0	0.25326	0.24613
6.0	2.0	2.0	8.0	-0.25326	-0.04343
6.0	2.0	3.0	8.0	0.58028	-0.24879
6.0	3.0	3.0	8.0	0.22160	-0.08292
6.0	3.0	3.0	9.0	-0.44321	0.02073



# Multiple Mixing Ratios of Gamma Rays Reaction Using $a_2$ -ratio Method.



**Taghreed A. Younis**

Dept. of Physics/ College of Education for pure Scinces (Ibn A Haitham)/  
University of Baghdad

**Received in :20May 2012 Accepted in :21January 2013**

## Abstract

The  $\delta$ -mixing of  $\gamma$ -transitions in  ${}^{70}\text{As}$  populated in the  ${}^{70}_{32}\text{Ge} (p, n\gamma) {}^{70}_{33}\text{As}$  reaction is calculated in the present work by using the  $a_2$ -ratio methods.

In one work we applied this method for two cases, the first one is for pure transition and the second one is for non pure transition, We take into account the experimental  $a_2$ -coefficient for previous works and  $\delta$ -values for one transition only. The results obtained are, in general, in a good agreement within associated errors, with those reported previously, the discrepancies that occur are due to inaccuracies existing in the experimental data of the previous works.

**Key word : (Gamma transition , mixing Ratios ,  $a_2$  – ratio method )**